

بررسی ریزساختار و رفتار خوردگی فولادهای مورد استفاده در بدنه‌ی خودرو در محیط‌های اسیدی و بازی حاوی یون کلرید

توحید رجبی^{۱*}، مسعود عطاپور^۲

^۱ کارشناسی ارشد، ^۲ دانشیار، دانشکده‌ی مهندسی مواد، دانشگاه صنعتی اصفهان، اصفهان، ایران

* نویسنده مسئول: rajabtohid7@ma.iut.ac.ir

تاریخ ارسال: ۱۴۰۰/۱۲/۲۰ تاریخ پذیرش: ۱۴۰۱/۰۳/۲۰

چکیده

فولادهای DP980، DP590 و IF به دلیل برخورداری از خواص مکانیکی منحصر به فرد در ساخت بدنه‌ی خودروها مورد استفاده قرار می‌گیرند. در این مقاله رفتار خوردگی و ریزساختار فولادهای DP980، DP590 و IF مورد استفاده در صنایع خودروسازی مورد بررسی و ارزیابی قرار گرفته است. به منظور ارزیابی رفتار خوردگی هر سه آلیاژ، از ارزیابی طیف‌سنجی الکتروشیمیایی امپدانس و پلاریزاسیون پتانسیودینامیکی در دو محیط $0.1 \text{ M NaCl} + 0.1 \text{ M NaOH}$ و $0.1 \text{ M NaCl} + 0.1 \text{ M H}_2\text{SO}_4$ استفاده شده است. ارزیابی‌های خوردگی انجام شده هر سه آلیاژ بیانگر رفتار خوردگی به مراتب بالاتر در محیط بازی نسبت به محیط اسیدی به دلیل تشکیل لایه‌ی رویین می‌باشد. در حالی که این آلیاژها در محیط $0.1 \text{ M NaCl} + 0.1 \text{ M H}_2\text{SO}_4$ مقاومت به مراتب کمتری را در برابر خوردگی از خود نشان داده و اثری از تشکیل لایه‌ی رویین در منحنی‌های پلاریزاسیون مشاهده نشده و خوردگی یکنواخت اتفاق می‌افتد. فولادهای دوفازی DP980 و DP590 به دلیل وجود دو فاز فریت و مارتنزیت و امکان تشکیل سلول گالوانیک در فصل مشترک دو فاز مذکور، مقاومت در برابر خوردگی پایین تری را نسبت به فولاد IF از خود نشان می‌دهند. فولاد دوفازی DP980 به دلیل درصد مارتنزیت کمتر نسبت به فولاد دوفازی DP980 در هر دو محلول اسیدی و بازی رفتار خوردگی بهتری را از خود نشان داده ولی رفتار خوردگی این دو فولاد بسیار نزدیک به هم می‌باشد.

کلیدواژه: خوردگی، ریزساختار، محیط‌های کلریدی، فولاد خودرو، طیف‌سنجی امپدانس الکتروشیمیایی، پلاریزاسیون پتانسیودینامیک

Microstructure and Corrosion Behaviour of the Car Steels in Chloride Contained Environments

T. Rajabi ^{1*}, M. Atapour ²

¹ M.Sc, ² Associate Professor, Department of materials engineering, Isfahan university of technology, Isfahan, Iran.

* **Corresponding Author:** rajabitohid7@ma.iut.ac.ir

Submission: 2022, 03, 11 Acceptance: 2022, 06, 10

Abstract

The DP980, DP590, and IF steels are used in the construction of car bodies due to their unique mechanical properties. In this paper, the corrosion behavior and microstructure of the DP980, DP590, and IF steels which are used in the automotive industry are investigated and evaluated. In order to evaluate the corrosion behavior of all three alloys, the electrochemical impedance spectroscopy and potentiodynamic polarization were evaluated in 0.1 M NaCl + 0.1 M H₂SO₄ and 0.1 M NaCl + 0.1 M NaOH environments. The corrosion evaluations of all three alloys show much better corrosion behavior in the alkaline environment than in the acidic environment due to the formation of the passive layer. While these alloys show much less corrosion resistance in the 0.1 M NaCl + 0.1 M H₂SO₄ environment, the uniform corrosion occurs while there is no evidence of the passive layer formation. The DP980 and DP590 dual-phase steels show lower corrosion resistance than the IF steel due to the presence of the ferrite and martensite phases and the possibility of galvanic cell formation at the interface between the two phases. The DP980 dual-phase steel has a better corrosion behavior than the DP590 due to the lower martensite content in both acidic and alkaline solutions, but the corrosion behavior of these two sheets of steel is very close to each other.

Keywords: Corrosion, Microstructure, Chloride contained environments, Electrochemical impedance spectroscopy, Potentiodynamic polarization

۱- مقدمه

هشت پاس انجام فرآیند پرس در کانال زاویه‌دار رفتار خوردگی فولاد IF در هر دو محیط با بهبود چشمگیری مواجه می‌شود. با توجه به تعداد مطالعات کم در راستای خوردگی فولادهای مورد استفاده در صنایع خودروسازی، در این پژوهش رفتار خوردگی و ریزساختار فولادهای DP980، DP590 و IF در محیط‌های حاوی کلرید مطالعه شده است. به منظور بررسی رفتار الکتروشیمیایی فولادهای نام برده، آزمون‌های امپدانس الکتروشیمیایی و پلاریزاسیون پتانسیودینامیک در دو محیط $0.1 \text{ M NaCl} + 0.1 \text{ M NaOH}$ و $0.1 \text{ M NaCl} + 0.1 \text{ M H}_2\text{SO}_4$ مورد بررسی و ارزیابی قرار گرفته است.

۲- مواد و روش تحقیق

در این پژوهش ورق‌های فولادهای IF، DP980 و DP590 با ضخامت‌های یکسان ۲ میلی‌متری و با ترکیب شیمیایی ارایه شده در جدول ۱ مورد استفاده قرار گرفتند. بررسی ریزساختاری به کمک میکروسکوپ نوری Epiphot 300 همراه با دوربین دیجیتال Nikon FDX-35 و فولادهای دوفازی DP980 و DP590 با استفاده از محلول اچانت نایتال دو درصد و فولاد IF با استفاده از محلول حاوی ۱۰ گرم اسید پیکریک، ۴ گرم CuCl_2 و ۱۰۰ میلی‌لیتر آب مقطر انجام شده است. به منظور بررسی‌های ریزساختاری از جمله محاسبه‌ی اندازه‌ی دانه و درصد هر فاز از نرم افزار Image J استفاده شده است. آزمون‌های الکتروشیمیایی در دو محلول اسیدی و بازی به ترتیب $0.1 \text{ M NaCl} + 0.1 \text{ M NaOH}$ و $0.1 \text{ M NaCl} + 0.1 \text{ M H}_2\text{SO}_4$ در دمای اتاق (۲۵ درجه‌ی سانتی‌گراد) انجام شده است. نمونه‌های مورد آزمایش، پس از برش به کمک وایرکات در ابعاد $1 \times 1 \text{ cm}$ ، مورد بررسی قرار گرفتند و سطح تمامی نمونه‌ها به منظور بررسی رفتار الکتروشیمیایی ۱ سانتی‌متر مربع در نظر گرفته شده است. تمامی آزمون‌های الکتروشیمیایی با استفاده از سلول خوردگی سه الکترودی شامل الکتروود مرجع Ag/AgCl ، الکتروود شمارنده‌ی پلاتینی و نمونه‌های مورد آزمایش به عنوان الکترودهای کاری و به کمک دستگاه گالوانواستات IVIUMStat XRe مورد بررسی و ارزیابی قرار گرفتند.

امروزه به دلیل مشکلات زیست محیطی ناشی از احتراق سوخت‌های فسیلی، توجه محققین جهت کاهش وزن خودرو و به تبع آن کاهش مصرف سوخت جلب شده است. از طرفی مواد مورد استفاده در صنایع خودروسازی علاوه بر وزن پایین، باید از خواصی شامل قابلیت جوشکاری بالا، پوشش‌پذیری، شکل‌پذیری و ترمیم‌پذیری برخوردار باشد [۱]. فولادهای IF به دلیل شکل‌پذیری بالا، مقاومت در برابر خستگی به واسطه‌ی حضور نیتروژن، قابلیت جوشکاری بالا و امکان انجام عملیات مختلف سطحی، در صنایع خودرو جایگاه ویژه‌ای دارند [۲]. از طرفی فولادهای دوفازی (DP) استحکام بالای ناشی از فاز مارتنزیت و قابلیت ازدیاد طول به واسطه‌ی وجود فاز فریت مورد توجه صنایع خودروسازی قرار دارد [۳]. اما مواد مورد استفاده در بدنه‌ی خودرو، به واسطه‌ی حضور یون‌های کلریدی در گل و لای و گرد و خاک در معرض خوردگی قرار دارند [۴]. حضور یون کلرید بر روی بدنه‌ی خودرو منجر به ایجاد خسارات زیادی در کوتاه مدت می‌شود [۵]. از این رو بررسی رفتار خوردگی آلیاژهای مورد استفاده در صنایع خودروسازی به منظور ارزیابی دوام این مواد در مدت زمان طولانی از اهمیت بالایی برخوردار است.

مطابق با مطالعات انجام شده توسط سرکار و همکاران [۶] مشخص شده است که با کاهش درصد فاز مارتنزیت در ریزساختار فولادهای دوفازی، رفتار خوردگی در محیط‌های حاوی یون کلرید کاهش می‌یابد. کایالی و همکاران [۷] گزارش کردند که درصد فاز مارتنزیت با کنترل پارامترهای عملیات حرارتی کاهش می‌یابد. همچنین مطابق با نتایج آنها، با اعمال فرآیند بورونایزینگ نرخ خوردگی فولادهای دوفازی با کاهش چشمگیری مواجه می‌شود. کانان و همکاران [۸] مشاهده کردند که فولادهای IF در محیط‌های حاوی $3/5\% \text{ NaCl}$ و $0.1 \text{ M H}_2\text{SO}_4$ رفتار خوردگی بهتری را نسبت به آلیاژ Fe-Mn-Al-Si از خود نشان می‌دهند. هادزیما و همکاران [۹] با بررسی اثر تغییر بافت کریستالی ناشی از فرآیند پرس در کانال زاویه‌دار (ECAP) فولاد IF در محیط‌های 0.1 M NaCl و 0.9 M NaOH به همراه 5% یون کلرید مشاهده کرد که پس از

(شکل ۱ - الف). درحالی‌که فولادهای دوفازی DP980 و DP590 از ساختار دوفازی فریتی و مارتزیتی ساخته شده که دانه‌بندی هر دو آلیاژ در شکل‌های (شکل ۱ - ب) و (شکل ۱ - ج) ارایه شده است. فاز فریت به صورت دانه‌های روشن و فاز مارتزیت به صورت مناطقی با رنگ تیره در داخل زمینه‌ی فریتی پخش شده‌اند. اندازه‌ی دانه‌ی محاسبه شده در هر فولادهای DP980، DP590 و IF به ترتیب ۷/۰۸، ۱۲/۲۴ و ۱۷/۴۱ میلی‌متر محاسبه شده است. با کاهش اندازه‌ی دانه، مرزهای بین دانه افزایش یافته و به دلیل حضور ناخالصی‌ها در مرزهای دانه خوردگی تشدید می‌شود [۱۰]. ریز ساختارهای فولادهای دوفازی DP980 و DP590 به ترتیب شامل ۲۰/۷۶ و ۲۹/۲۲ درصد فاز مارتزیت می‌باشد. همچنین در ریزساختار فولاد دوفازی DP590 در شکل ۱ - ب فازهای کاربید یوکتوئیدی بیشتری نسبت به فولاد دوفازی DP980 به رنگ سیاه قابل مشاهده می‌باشد. فازهای کاربید یوکتوئیدی نسبت به فاز فریت کاند بوده و از این‌رو میزان حضور این فاز در ریزساختارهای فولادهای دوفازی حائز اهمیت می‌باشد [۱۱].

آزمون‌های طیف‌سنجی امپدانس الکتروشیمیایی (EIS) و پلاریزاسیون پتانسیودینامیک (Potentiodynamic Polarization) پس از غوطه‌وری در شرایط مدار باز (OCP) به مدت یک ساعت مورد بررسی قرار گرفته است. همچنین لازم به ذکر است که به منظور کاهش خطا، هر تست سه بار تکرار شده است. آزمون پلاریزاسیون پتانسیودینامیک از پتانسیل -250 mV نسبت به پتانسیل مدارباز شروع و در $1/5\text{ V}$ نسبت به الکتروود مرجع با نرخ روبش $0/32\text{ mVs}^{-1}$ به پایان رسیده است. همچنین به منظور بررسی و تحلیل رفتار خوردگی نمونه‌های مورد آزمایش به کمک آزمون طیف سنجی امپدانس الکتروشیمیایی از نرم‌افزار Zview استفاده شده است.

۳ - نتایج و بحث

۳ - ۱ - بررسی ریزساختاری

ریزساختار فولادهای DP980، DP590 و IF در شکل ۱ ارائه شده است. ریزساختار فولاد IF عمدتاً به صورت کاملافریتی بوده و مرز دانه‌ها در تصویر به وضوح قابل مشاهده می‌باشد

جدول ۱ - ترکیب شیمیایی فولاد های IF، DP590 و DP980 (wt.%)

نمونه	Fe	C	Mn	Ti	Al	Mo	Ni	Si	Cr	V	S	Cu	P	N
فولاد IF	پایه	۰/۰۰۰۴	۰/۱۴	۰/۰۵۵	۰/۰۴۶	۰/۰۲۳	۰/۰۱۸	۰/۰۱۷	۰/۰۱۵	۰/۰۱۳	۰/۰۱۱	۰/۰۱	۰/۰۰۶	۰/۰۰۴
فولاد DP590	پایه	۰/۱۱	۱/۴۳	۰/۰۲	۰/۰۲	-	۰/۰۳	۰/۴	۰/۲۱	۰/۰۱	۰/۰۰۷	۰/۰۲	۰/۰۰۹	۰/۰۱
فولاد DP980	پایه	۰/۱۵	۱/۵۰	۰/۲۶۱	۰/۰۵	۰/۰۰۶	۰/۰۱	۰/۳۱	۰/۰۲	۰/۰۱	۰/۰۰۶	۰/۰۲	۰/۰۱	۰/۰۰۹



شکل ۱ - ریزساختار فولاد های (الف) IF، (ب) DP590 و (ج) DP980 در بزرگنمایی ۵۰۰x.

می‌شوند (شکل ۲ - الف). این در حالی است که در محلول بازی فولادهای DP980، DP590 و IF منطقه‌ی روپین تشکیل داده و این موضوع بیانگر تغییر مکانیزم خوردگی در محیط‌های بازی می‌باشد. علاوه بر این، با مقایسه‌ی پتانسیل و چگالی جریان خوردگی تمامی نمونه‌ها در محلول‌های $0.1 \text{ M NaCl} + 0.1 \text{ M NaOH}$ و $0.1 \text{ M NaCl} + 0.1 \text{ M H}_2\text{SO}_4$ مشخص می‌شود که رفتار خوردگی در شرایط اسیدی به مراتب شدیدتر از شرایط بازی می‌باشد. به دلیل پایداری شیمیایی پایین فاز مارتزیت در فولادهای دوفازی DP980 و DP590 در مقایسه با فاز فریت فولاد IF، مقاومت در برابر خوردگی فولادهای دوفازی DP980 و DP590 پایین‌تر از فولاد IF می‌باشد [۱۳]. همچنین در فولادهای دوفازی، امکان تشکیل سلول گالوانیک در فصل مشترک فازهای فریت و مارتزیت وجود داشته که منجر به افزایش نرخ خوردگی نسبت به فولاد تک فاز IF می‌شود. اما به طور کلی می‌توان گفت که در فولادهای دوفازی DP980 به دلیل وجود عنصر مولیبدن در ریزساختار، رفتار خوردگی بهتری را نسبت به فولاد DP590 در هر دو محیط اسیدی و بازی نشان می‌دهد.

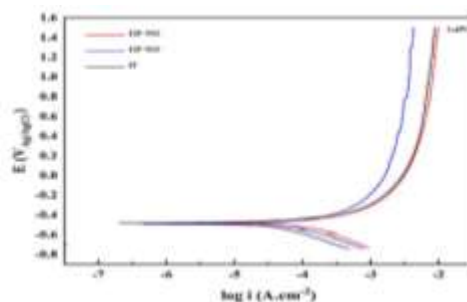
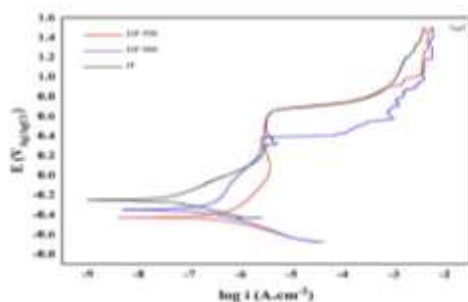
۳-۲ - مشخصه یابی الکتروشیمیایی

۳-۲-۱ - بررسی پلاریزاسیون پتانسیودینامیک

شکل ۲-الف و شکل ۲-ب منحنی‌های پلاریزاسیون پتانسیودینامیک فولادهای DP980، DP590 و IF به ترتیب در محلول‌های $0.1 \text{ M NaCl} + 0.1 \text{ M H}_2\text{SO}_4$ و $0.1 \text{ M NaCl} + 0.1 \text{ M NaOH}$ را نشان می‌دهد. نتایج عددی حاصل از منحنی‌های پلاریزاسیون پتانسیودینامیک در جدول ۲ ارائه شده‌اند. در جدول ۲ پتانسیل خوردگی E_{corr} ، چگالی جریان خوردگی i_{corr} ، شیب تافل آندی β_a ، شیب تافل کاتدی β_c و مقاومت در برابر پلاریزاسیون R_p می‌باشد. به منظور محاسبه‌ی مقاومت در برابر پلاریزاسیون و مقایسه رفتار خوردگی نمونه‌های مورد آزمایش از رابطه‌ی ۱ استفاده می‌شود [۱۲].

$$R_p = \frac{\beta_a \beta_c}{2.3 i_{\text{corr}} (\beta_a + \beta_c)} \quad \text{رابطه ی (۱)}$$

تمامی نمونه‌های مورد آزمایش در شرایط اسیدی ناپایدار بوده و با نرخ بالا به صورت یکنواخت دچار خوردگی



شکل ۲ - منحنی‌های پلاریزاسیون پتانسیودینامیک فولاد های IF، DP590 و DP980 در محلول (الف) 0.1 M NaCl و (ب) $0.1 \text{ M H}_2\text{SO}_4$ و $0.1 \text{ M NaCl} + 0.1 \text{ M NaOH}$

جدول ۲ - داده‌های عددی استخراج شده از منحنی‌های پلاریزاسیون پتانسیودینامیک در محیط $0.1 \text{ M NaCl} + 0.1 \text{ M H}_2\text{SO}_4$

نمونه	E_{corr} (V vs. Ag/AgCl)	i_{corr} (A cm^{-2})	β_a	β_c	R_p ($\Omega \text{ cm}^2$)
فولاد IF	-۰/۴۹۲۳	$۳/۴۳ \times ۱۰^{-۵}$	۰/۱۰۵	۰/۲۱۶	۸۹۵/۳
فولاد DP590	-۰/۴۹۱۶	$۱۱/۶۰ \times ۱۰^{-۵}$	۰/۱۸۵	۰/۲۶۱	۴۰۵/۳
فولاد DP980	-۰/۵۰۳۴	$۸/۷۳ \times ۱۰^{-۵}$	۰/۲۲۱	۰/۲۵۱	۵۸۵/۱

جدول ۳ - داده‌های عددی استخراج شده از منحنی‌های پلاریزاسیون پتانسیودینامیک در محیط $0.1 \text{ M NaCl} + 0.1 \text{ M NaOH}$

نمونه	E_{corr} (V vs. Ag/AgCl)	i_{corr} (A cm^{-2})	β_a	β_c	R_p ($\Omega \text{ cm}^2$)
فولاد IF	-۰/۲۴۲۶	$۳/۶۰ \times ۱۰^{-۸}$	۰/۲۰۴	۰/۱۲۴	$۹/۲۸۵ \times ۱۰^۵$
فولاد DP590	-۰/۴۱۶۴	$۳/۹۰ \times ۱۰^{-۷}$	۰/۲۸۸	۰/۱۵۲	$۱/۱۰۵ \times ۱۰^۵$
فولاد DP980	-۰/۳۴۸۴	$۲/۳۸۱ \times ۱۰^{-۷}$	۰/۵۸۰	۰/۱۷۱	$۲/۴۰۴ \times ۱۰^۵$

میکرو کالوانیک میان فازهای مارتزیت و فریت با فرار گیری فولادهای دوفازی (DP) در معرض سدیم کلرید تشکیل شده و منجر به خوردگی موضعی آندی فریتی مطابق با واکنش زیر می شود:



اما در محلول $0.1 \text{ M NaCl} + 0.1 \text{ M NaOH}$ فولادهای DP980، DP590 و IF رفتار متفاوت تر را نسبت به محیط اسیدی از خود نشان می دهند. فولاد IF سطحی شفاف تر از فولادهای دوفازی DP980 و DP590 پس از آزمون پلاریزاسیون پتانسیودینامیک دارد. فولاد دوفازی DP590 سطحی پر از حفرات بزرگ و کوچک را نشان داده که با نمودار و داده‌های عددی آزمون پلاریزاسیون پتانسیودینامیک همخوانی دارد. اما فولاد دوفازی DP980 حاوی حفرات نسبتاً درشتی نسبت به سایر نمونه‌های مورد آزمایش بوده که حاکی از مکانیزم خوردگی حفره دار شدن

به منظور بررسی بهتر و مقایسه‌ی رفتار خوردگی فولادهای DP980، DP590 و IF پس از آزمون پلاریزاسیون پتانسیودینامیک از سطح نمونه‌های مورد بررسی با استفاده از میکروسکوپ نوری تصویربرداری شده است. نتایج حاصل از بررسی سطح هر سه فولاد در محیط اسیدی نشان دهنده‌ی مکانیزم خوردگی بین دانه ای می باشد. به دلیل ناهمگونی موجود در مرز دانه‌ها، خوردگی از مرز دانه شروع شده، به طوری که دانه بندی هر سه فولاد قابل مشاهده می باشد. اما فولاد دوفازی DP590 با توجه به ناپایداری شیمیایی، خوردگی شدیدتری را نسبت به فولادهای DP980 و IF در محلول $0.1 \text{ M NaCl} + 0.1 \text{ M H}_2\text{SO}_4$ از خود نشان داده است. به طوری که خوردگی از مرز دانه شروع شده و به داخل دانه‌ها نیز وارد شده است. فولاد دوفازی DP980 با وجود سطحی روشن تر نسبت به فولاد دوفازی DP590، همچنان در محلول اسیدی ناپایدار بوده سطحی به مراتب کدرتر نسبت به فولاد IF از خود نشان می دهد. مطابق با نتایج بدست آمده توسط چن و همکاران [۱۴] کوپل

می‌باشد. به نظر می‌رسد که نوسانات موجود در منحنی‌های پلاریزاسیون پتانسیودینامیک (شکل ۲ - ب) ناشی از تشکیل حفرات و روپین شدن مجدد سطح بوده که به دلیل نقص در لایه‌ی روپین جریان خوردگی افزایش یافته است. از طرفی دیگر به علت وجود حفرات سطحی به واسطه‌ی خوردگی حفره‌دار شدن در فولاد دوفازی DP980، پتانسیل شکست لایه روپین پایین‌تر از فولاد دوفازی DP590 می‌باشد.

۳-۲-۲- بررسی امپدانس الکتروشیمیایی

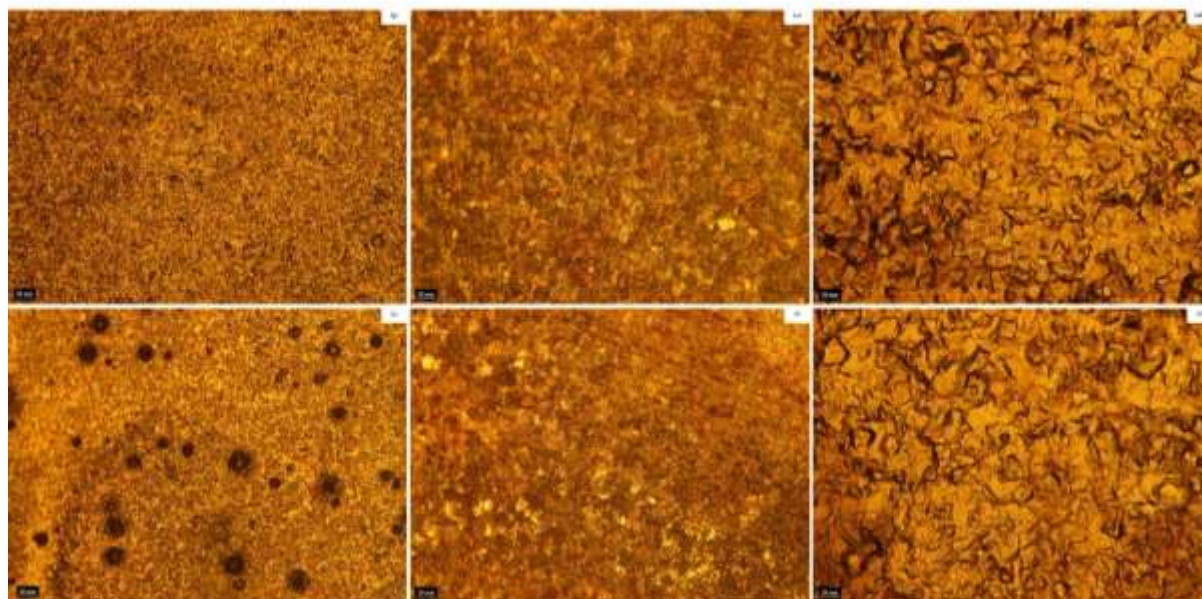
شکل ۳ منحنی‌های نایکویست، باد - فیز و باد - زد فولادهای DP980، DP590 و IF در محیط‌های اسیدی و بازی را نشان می‌دهد. همچنین مدار معادل مورد استفاده به منظور ارزیابی امپدانس الکتروشیمیایی در نمودارهای نایکویست ارائه شده است. در مدل‌های ارائه شده به دلیل اختلاف از حالت ایده‌آل دی الکتریک به واسطه‌ی ناهمگونی‌های سطحی، از پارامتر CPE برای محاسبه‌ی ظرفیت خازنی استفاده شده است [۱۵]. در مدارهای معادل ارائه شده مقاومت الکتروولت R_s ، مقاومت در برابر تبادل بار R_{ct} ، مقاومت در برابر جذب سطحی R_t و القاگر با L مشخص شده است. همچنین داده‌های عددی استخراج شده از آزمون طیف‌سنجی امپدانس الکتروشیمیایی در محلول‌های $0.1 \text{ M NaCl} + 0.1 \text{ M NaOH}$ و $0.1 \text{ M NaCl} + 0.1 \text{ M H}_2\text{SO}_4$ را به ترتیب در جداول ۴ و ۵ ارائه شده اند.

منحنی‌های نایکویست تمامی نمونه‌های مورد آزمایش در محلول $0.1 \text{ M NaCl} + 0.1 \text{ M H}_2\text{SO}_4$ دارای یک انتهای منفی بوده که ناشی از نرخ خوردگی بالای فولادهای DP980، DP590 و IF در محیط اسیدی می‌باشد. به بیان دیگر، به دلیل نرخ بالای انحلال یون‌های آهن در محیط $0.1 \text{ M NaCl} + 0.1 \text{ M H}_2\text{SO}_4$ یک نیم‌حلقه در قسمت بالای محور که بیانگر ظرفیت بوده و یک نیم‌حلقه در قسمت منفی به واسطه‌ی القاگر، قابل مشاهده است (شکل ۴ - الف). مطابق با مطالعات موانگا و همکاران [۱۶]، انتهای منفی در نمودار به دلیل جذب هیدروژن و محصولات دیگر مثل Fe (I) ، Fe (II) ، Zn (I) و Zn (II) اتفاق می‌افتد. رفتار

القاگر به صورت شیب منفی تند در قسمت خطی منحنی باد - زد و با مقادیر منفی در منحنی باد - فیز خود را نشان می‌دهد (شکل ۴ - ج و شکل ۴ - ه). اما در محلول $0.1 \text{ M NaCl} + 0.1 \text{ M NaOH}$ ، DP590 و IF رفتار متفاوتی از خود نشان داده و در منحنی‌های نایکویست تمامی نمونه‌های مورد آزمایش دارای یک نیم‌حلقه می‌باشند (شکل ۴ - ب). به منظور بررسی رفتار الکتروشیمیایی فولادهای DP980، DP590 و IF در آزمون طیف‌سنجی امپدانس الکتروشیمیایی در محلول بازی، از مدار معادل رندلز استفاده شده است. به دلیل تشکیل لایه‌ی روپین بر روی تمامی نمونه‌های مورد آزمایش، رفتار الکتروشیمیایی فولادهای DP980، DP590 و IF در محیط بازی با محیط اسیدی کاملاً متفاوت می‌باشد. با توجه به منحنی باد - فیز، فولاد IF زاویه‌ی بیشتری را نسبت به فولادهای دوفازی DP980 و DP590 در محلول بازی نشان می‌دهد که بیانگر پایداری بیشتر لایه‌ی روپین تشکیل شده بر روی فولاد IF می‌باشد (شکل ۴ - د). همچنین با توجه به شکل ۴ - و، فولاد IF بیشترین مقدار امپدانس و فولاد دوفازی DP590 کمترین مقدار امپدانس را در بازه‌ی فرکانس مشابه از خود نشان می‌دهند که نتایج حاصل از آزمون طیف‌سنجی امپدانس الکتروشیمیایی با نتایج حاصل از پلاریزاسیون پتانسیودینامیک مطابقت دارد (شکل ۳ - ب). در مجموع فولاد IF رفتار خوردگی مناسب‌تری را نسبت به فولادهای دوفازی DP980 و DP590 از خود نشان می‌دهد. مطابق با نتایج بدست آمده توسط اسکندری و همکاران [۱۷]، به واسطه‌ی تشکیل لایه‌ی روپین Fe_2O_3 و $\gamma\text{-Fe}_2\text{O}_3$ بر روی سطح فولاد IF مقاومت در برابر خوردگی در محیط حاوی NaCl بهبود می‌یابد. پایداری بیشتر لایه‌ی روپین و تک فاز بودن فولاد IF مهمترین علت رفتار خوردگی فولادهای دوفازی DP980 و DP590 در محیط بازی می‌باشد. اما در محیط اسیدی رفتار خوردگی هر سه نمونه نزدیک به هم بوده و بیانگر پایداری شیمیایی پایین فولادهای DP980، DP590 و IF در محیط‌های $0.1 \text{ M NaCl} + 0.1 \text{ M H}_2\text{SO}_4$ می‌باشد.

ترتیب در جداول ۴ و ۵ ارائه شده اند.

منحنی‌های نایکویست تمامی نمونه‌های مورد آزمایش در محلول $0.1 \text{ M NaCl} + 0.1 \text{ M H}_2\text{SO}_4$ دارای یک انتهای منفی بوده که ناشی از نرخ خوردگی بالای فولادهای DP980، DP590 و IF در محیط اسیدی می‌باشد. به بیان دیگر، به دلیل نرخ بالای انحلال یون‌های آهن در محیط $0.1 \text{ M NaCl} + 0.1 \text{ M H}_2\text{SO}_4$ یک نیم‌حلقه در قسمت بالای محور که بیانگر ظرفیت بوده و یک نیم‌حلقه در قسمت منفی به واسطه‌ی القاگر، قابل مشاهده است (شکل ۴ - الف). مطابق با مطالعات موانگا و همکاران [۱۶]، انتهای منفی در نمودار به دلیل جذب هیدروژن و محصولات دیگر مثل Fe (I) ، Fe (II) ، Zn (I) و Zn (II) اتفاق می‌افتد. رفتار



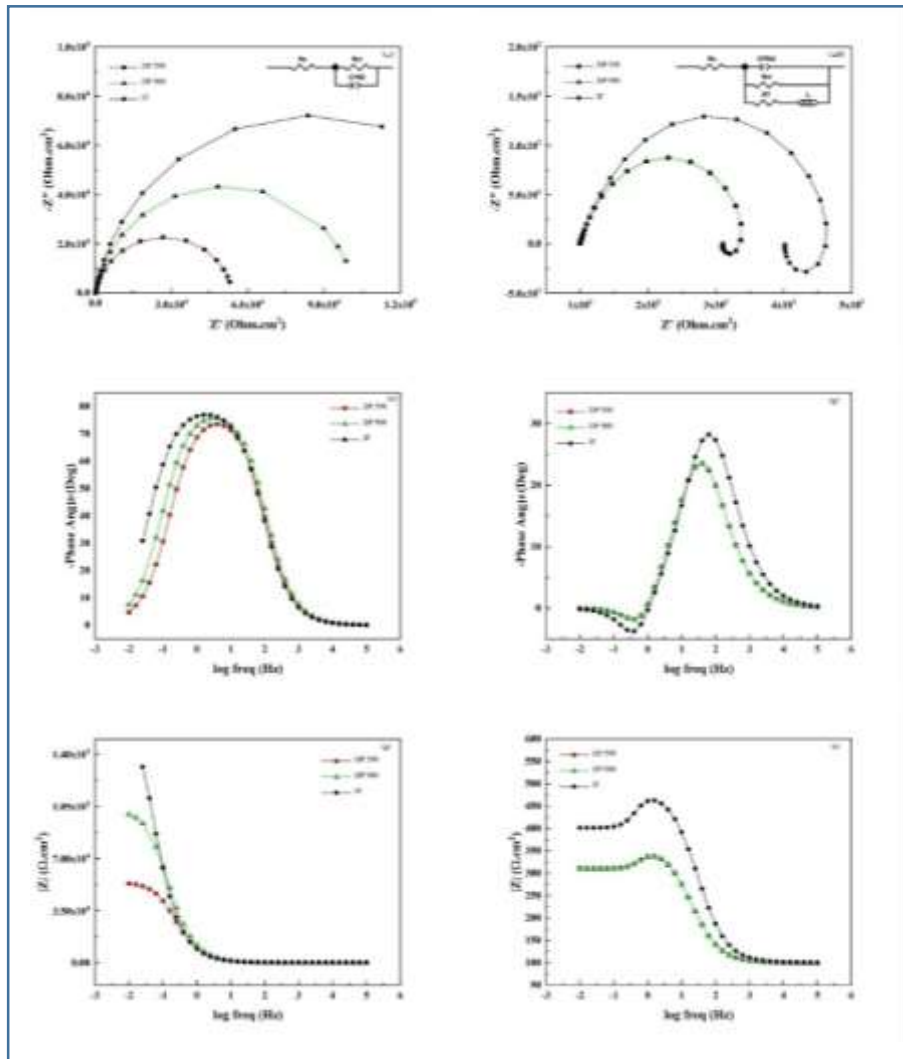
شکل ۳ - تصاویر حاصل از میکروسکوپ نوری پس از آزمون پلاریزاسیون پتانسیودینامیک از (الف)، (ب) و (ج) فولادهای IF، DP590 و DP980 در محلول $0.1 \text{ M NaCl} + 0.1 \text{ M H}_2\text{SO}_4$ ، (د)، (ه) و (و) فولادهای IF، DP590 و DP980 در محلول $0.1 \text{ M NaCl} + 0.1 \text{ M NaOH}$ در بزرگنمایی $200\times$

جدول ۴ - داده‌های عددی استخراج شده از آزمون امپدانس الکتروشیمیایی در محیط $0.1 \text{ M NaCl} + 0.1 \text{ M H}_2\text{SO}_4$

L	R_T	R_{ct} (Ωcm^2)	CPE		R_s (Ωcm^2)	نمونه
			$n_2 (0-1)$	$C_{dl}(\text{Fcm}^{-2})$		
۵۵۵/۹	۱۳۵۰	۳۸۷/۸	۰/۷۵۱۴۴	$۶/۲۸۹۶ \times 10^{-۵}$	۱۰۰/۶۰	فولاد IF
۳۱۷/۵	۱۰۹۴	۲۶۲/۰	۰/۷۵۰۳۶	$۱۲/۲۶۹۱ \times 10^{-۵}$	۹۹/۴۲	فولاد DP590
۳۲۱/۳	۱۱۰۳	۲۶۱/۷	۰/۷۵۱۸۲	$۱۲/۱۵۶۰ \times 10^{-۵}$	۹۹/۴۶	فولاد DP980

جدول ۵ - داده‌های عددی استخراج شده از آزمون امپدانس الکتروشیمیایی در محیط $0.1 \text{ M NaCl} + 0.1 \text{ M NaOH}$

R_{ct} (Ωcm^2)	CPE		R_s (Ωcm^2)	نمونه
	$n_2 (0-1)$	$C_{dl}(\text{Fcm}^{-2})$		
$۱/۷۰۳۱ \times 10^{-۵}$	۰/۸۹۴۳۸	$۲/۰۷۳۴ \times 10^{-۵}$	۱۶۴/۳	فولاد IF
$۰/۵۳۹۹ \times 10^{-۵}$	۰/۸۸۷۹۵	$۱/۸۹۵۱ \times 10^{-۵}$	۱۷۴/۷	فولاد DP590
$۱/۰۲۴۷ \times 10^{-۵}$	۰/۸۹۳۴۸	$۱/۵۸۷۲ \times 10^{-۵}$	۱۷۸/۷	فولاد DP980



شکل ۴. الف)، (ج) و (ه) منحنی‌های نایکویست، باد - فیز و باد - د فولاد های IF، DP590 و DP980 در محلول 0.1 M NaCl + 0.1 M H₂SO₄، (ب)، (د) و (و) منحنی‌های نایکویست، باد - فیز و باد - زد فولاد های IF، DP590 و DP980 در محلول 0.1 M NaCl + 0.1 M NaOH

نتیجه‌گیری

- تصاویر ریزساختاری گرفته شده از فولادهای DP980 و DP590 نشان‌دهنده‌ی دو فاز فریت و مارتنزیت در ریزساختار بوده که فاز مارتنزیت در زمینه‌ی فریتی پخش شده، درحالی‌که فولاد IF دارای ساختار فریتی می‌باشد. دانه‌بندی‌های هر سه نمونه به صورت پیوسته و یکنواخت بوده و فولاد دو فازی DP590 دارای فاز مارتنزیت بیشتری نسبت به فولاد دو فازی DP980 می‌باشد.
- بر اساس مشاهدات انجام شده از نتایج آزمون پلاریزاسیون پتانسیودینامیک، فولادهای DP980، DP590 و IF در محلول اسیدی 0.1 M NaCl + 0.1 M H₂SO₄ به صورت فعال در معرض خوردگی شدید قرار گرفته در حالی‌که در محلول بازی 0.1 M NaOH + 0.1 M NaCl نواحی فعال - رویین مشاهده می‌شوند. همچنین فولادهای دو فازی DP980 و

DP590 در هر دو شرایط اسیدی و بازی، به دلیل تشکیل سلول گالوانیک در فصل مشترک فازهای فریتی و ماتزیتی، مقاومت پائینی در برابر فولاد IF با ساختار فریتی از خود نشان می‌دهند.

نتایج حاصل از آزمون امپدانس شیمیایی در هر دو محلول اسیدی و بازی تاییدکننده‌ی آزمون پلاریزاسیون پتانسیودینامیک بوده و در شرایط اسیدی به دلیل نرخ بالای انحلال آهن در الکترولیت، در منحنی‌های نایکویست یک نیم حلقه در فرکانس منفی القا شده است. اما در شرایط بازی به دلیل تشکیل لایه‌ی رویین بر روی سطح تمامی نمونه‌های مورد آزمایش، تنها یک نیم حلقه تشکیل شده است.

مراجع

- [1] N. Farabi, D. L. Chen, and Y. Zhou, "Microstructure and mechanical properties of laser welded dissimilar DP600/DP980 dual-phase steel joints," *J. Alloys Compd.*, Vol. 509, No. 3, 2011, Pp. 982–989, doi: 10.1016/j.jallcom.2010.08.158.
- [2] S. Basak, H. Das, T. K. Pal, and M. Shome, "Characterization of intermetallics in aluminum to zinc coated interstitial free steel joining by pulsed MIG brazing for automotive application," *Mater. Charact.*, Vol. 112, 2016, Pp. 229–237, doi: 10.1016/j.matchar.2015.12.030.
- [3] C. Ma, D. L. Chen, S. D. Bhole, G. Boudreau, A. Lee, and E. Biro, "Microstructure and fracture characteristics of spot-welded DP600 steel," *Mater. Sci. Eng. A*, Vol. 485, No. 1–2, 2008, Pp. 334–346, doi: 10.1016/j.msea.2007.08.010.
- [4] P. Pishva, S. S. Beni, M. Atapour, M. R. Salmani, and R. Ashiri, "Study of Corrosion Behavior in Resistance Spot Welds of Thin Sheets of Zinc-Coated Interstitial-Free Steel," *J. Mater. Eng. Perform.*, Vol. 30, No. 3, 2021, Pp. 1723–1736, doi: 10.1007/s11665-021-05474-0.
- [5] L. Q. Guo, D. Liang, Y. Bai, X. L. Miao, L. J. Qiao, and A. A. Volinsky, "Effects of Hydrogen and Chloride Ions on Automobile Interstitial-Free Steel Corrosion," *CORROSION*, Vol. 70, No. 10, 2014, Pp. 1024–1030, doi: 10.5006/1126.
- [6] P. P. Sarkar, P. Kumar, M. K. Manna, and P. C. Chakraborti, "Microstructural influence on the electrochemical corrosion behaviour of dual-phase steels in 3.5% NaCl solution," *Mater. Lett.*, Vol. 59, No. 19–20, 2005, Pp. 2488–2491, doi: 10.1016/j.matlet.2005.03.030.
- [7] Y. Kayali and B. Anaturk, "Investigation of electrochemical corrosion behavior in a 3.5wt.% NaCl solution of boronized dual-phase steel," *Mater. Des.*, Vol. 46, 2013, pp. 776–783, doi:10.1016/j.matdes.2012.11.040.
- [8] M. B. Kannan, R. K. S. Raman, and S. Khoddam, "Comparative studies on the corrosion properties of a Fe–Mn–Al–Si steel and an interstitial-free steel," *Corros. Sci.*, Vol. 50, No. 10, 2008, Pp. 2879–2884, doi: 10.1016/j.corsci.2008.07.024.
- [9] B. Hadzima, M. Janeček, Y. Estrin, and H. S. Kim, "Microstructure and corrosion properties of ultrafine-grained interstitial free steel," *Mater. Sci. Eng. A*, Vol. 462, No. 1–2, 2007, Pp. 243–247, doi: 10.1016/j.msea.2005.11.081.
- [10] K. JONES and D. HOEPPNER, "The interaction between pitting corrosion, grain boundaries, and constituent particles during corrosion fatigue of 7075-T6 aluminum alloy," *Int. J. Fatigue*, Vol. 31, No. 4, 2009, Pp. 686–692, doi: 10.1016/j.ijfatigue.2008.03.016.
- [11] M. Ismail, B. Muhammad, E. Hamzah, and T. Keong, "Corrosion behaviour of dual-phase and galvanized steels in concrete," *Anti-Corrosion Methods Mater.*, Vol. 59, No. 3, 2012, Pp. 132–138, doi: 10.1108/00035591211224672.
- [12] Y. WANG and D. NORTHWOOD, "An investigation of the electrochemical properties of PVD TiN-coated SS410 in simulated PEM fuel cell environments," *Int. J. Hydrogen Energy*, Vol. 32, No. 7, 2007, Pp. 895–902, doi: 10.1016/j.ijhydene.2007.02.006.
- [13] K. D. Ralston and N. Birbilis, "Effect of Grain Size on Corrosion: A Review," *CORROSION*, Vol. 66, No. 7, 2010, Pp. 075005–075005–13, doi: 10.5006/1.3462912.
- [14] H. Chen, Z. Lv, L. Lu, Y. Huang, and X. Li, "Correlation of micro-galvanic corrosion behavior with corrosion rate in the initial corrosion process of dual phase steel," *J. Mater. Res. Technol.*, Vol. 15,

- 2021, Pp. 3310–3320, doi: 10.1016/j.jmrt.2021.09.123.
- [15] S. . Ahn, J. . Lee, H. . Kim, and J. . Kim, “A study on the quantitative determination of through-coating porosity in PVD-grown coatings,” *Appl. Surf. Sci.*, Vol. 233, No. 1–4, 2004, Pp. 105–114, doi: 10.1016/j.apsusc.2004.03.213.
- [16] M. Mouanga, M. Puiggali, B. Tribollet, V. Vivier, N. Pébère, and O. Devos, “Galvanic corrosion between zinc and carbon steel investigated by local electrochemical impedance spectroscopy,” *Electrochim. Acta*, Vol. 88, 2013, Pp. 6–14, doi: 10.1016/j.electacta.2012.10.002.
- [17] H. Eskandari, M. S. Rizzi, A. Ghanbari, B. Nasiri, and K. Dehghani, “A study on the surface severe plastic deformation and corrosion behavior of an interstitial free steel,” *Mater. Res. Express*, Vol. 6, No. 12, 2020, Pp. 1250b8, doi: 10.1088/2053-1591/ab6114.

